

早稲田大学  
都土木技術  
電気公社

正員  
正員  
正員

森 麟  
杉本 隆男  
町 清二

### 1. まえがき

軟弱なちゅう度地盤で深い掘削をする場合、周囲の地盤が有害な変形を起こしたり崩壊する危険が常につきまと。そこで、根切り山留め工事にあたっては細心の注意が求められるが、周囲の地盤に有害な変形を与えることが多い。この種の問題に対して、山留めをしたときにはこれを土圧の問題として取り扱い、山留めがなければ斜面の問題として取扱つのが従来の方法であった。しかしながら、どちらの場合も掘削することに対する地盤の応答の問題であり、その応答の結果が周囲地盤の変形であり崩壊である。この報告は、根切り山留め工事のうち、山留めをしない素掘りの場合を例にとり、有限要素法を用いて、平面的に、鉛直側面掘削時の地盤変形と地盤内応力を求め、この種の問題を考えたものである。

### 2. 土質常数と土の応力へひびきの関係

土構造物の変形解析に有限要素法を用いるとき、土質常数や土の応力へひびきの関係をどのように導入あるかは、重要な問題であり、理想的には、現場条件にあわせて土の供試体を選べ、試験あることが望ましいが、これらの条件をすべて満たすことは難しい。ここでは、表-1に示すように土に水を加えて練返したあと再圧密してつくった供試体の側圧減少量試験から、必要な土質常数、応力へひびき曲線などを求めた。再圧密試験は、0.8～2.0% $\text{cm}^2$ の範囲のいろいろな圧密圧 $P_c$ で圧密したが、圧密終了時の含水比は47.0～51.9%で、LLに近く、 $P_c=2.0\% \text{cm}^2$ で圧密した場合の乾燥比は、7.6であった。このうち、 $P_c=0.8\% \text{cm}^2$ の場合の時間～沈下量・主応力曲線を図-1に示す。この図では、圧密終了時の主応力比 $b$ が0.455となっているが、いろいろな方法によるものは、0.37～0.455となった。これらの値とこれまでに提案されたいろいろな土の応力へひびき曲線を考慮し、ここでは、 $b=0.45$ とした。なお、ボアソン比については、地盤が非排水条件下で変形あるものとし、解析の都合上、0.47と仮定した。

また、再圧密試験から $\phi=35^\circ$ ,  $\epsilon=8.0 \text{ cm}$ の供試体を作成し、非排水条件で、軸圧一定の側圧減少試験を行い、土の応力へひびき曲線を求めた。試験の作成から側圧減少試験までの応力経路図を図-2に示したが、ここで取扱う問題では本来、 $b \rightarrow d$ パスの応力へひびき曲線によらなければならないけれども、 $C \rightarrow d$ パスのそれを求めた。この試験で求めた曲線を、つぎのような von Mises の近似式で表わし、係数 $a$ 、 $b$ を求めた。

$$(C-E) = E / (a + bE)$$

ここで、 $C$ 、 $E$ は主応力、 $E$ は軸ひずみである。これらの結果とともに、解析上必要な係数の深度分布を、図-3のように定め、深さ10mを瞬間に掘削したと仮定したときの地盤変形と地盤内応力を荷重増加法で求め、最大せん断応力 $\tau_{max}$ とせん断強

表-1

採取場所	江東区菊川町
土質名	シルト質粘土
自然含水比	約50%
LL, PL	49%, 32%

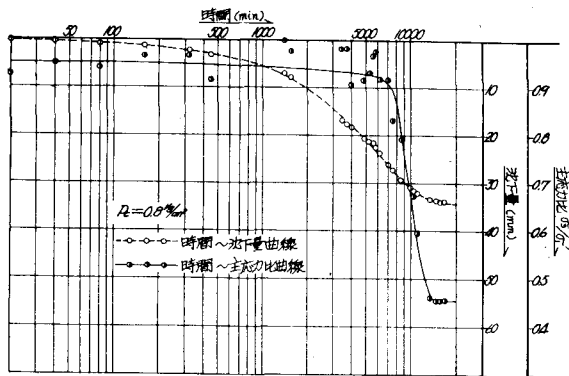


図-1. 再圧密における時間～沈下量・主応力比曲線

さと(の-03)との比から、せん断破壊領域を推定した。

### 3. 解析結果

図-2は、変位量を表したもので、掘削深さの中央で約10cmはりめがし、掘削底面で約5cmもりあがっている。また、背面地盤の地表面沈下量は最大8cmで、掘削箇所から離れるに従い少なくなっている。図-2のb→dパスの応力ヘリオナ曲線からの係数a、bが得られれば、もう少し大きな変位量となるようと思われる。

図-3は、主応力の大きさとその方向を示したもので、鋸直削面背後の最大主応力は、右側端点付近のそれと差はないが、最小主応力は小さくなり、地表面付近では引張応力が生じ、掘削底面は無応力状態に近い。また、主応力方向は、掘削境界面付近で大きく変化し、最大30度近く傾いている。主応力方向の変化は、粘土の非排水せん断強さに影響すると考えられるので、今後はこのことも考慮する必要がある。

図-6は、 $T_{max}/\frac{1}{2}(の-03)$ との比の等価線である。比が1以上の領域から掘削背面のせん断破壊領域が推定でき、比が1.2のセンターは、鋸直削面のおもり線に近い。地表面付近では、比が1以下だが、引張応力が生じ、実際の現場で観察されるきれつとうらづける結果となっている。なお、Taylorの安定限界から求めた限界高さが約6mとなり、比が最大値と不深さと一致していることは興味深い。

### 4. あとがき

今回は、掘削と瞬間的に行なったときの挙動を考えたが、実際の場合とは異なり多くの問題点が残されたようである。今後は、実際の地盤に近い条件を考え、段階的に掘削したときの挙動について考えてゆくつもりである。最後に、多くの助言をいただいた早稻田大学古藤田教授に感謝の意を表します。また、土壤実験は、秋場後一君の労によるもので、ここに謝意を表します。

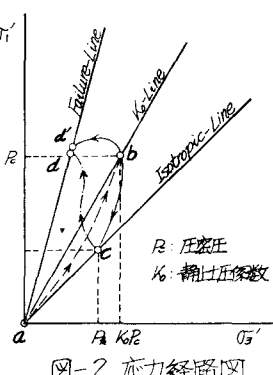


図-2 応力経路図

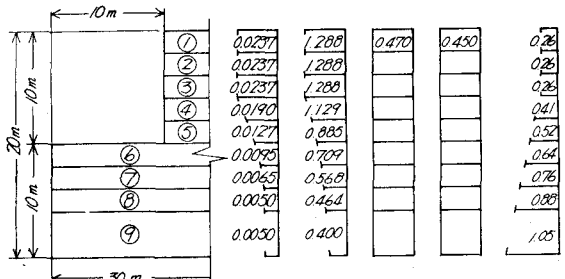


図-3 各係数の深度分布

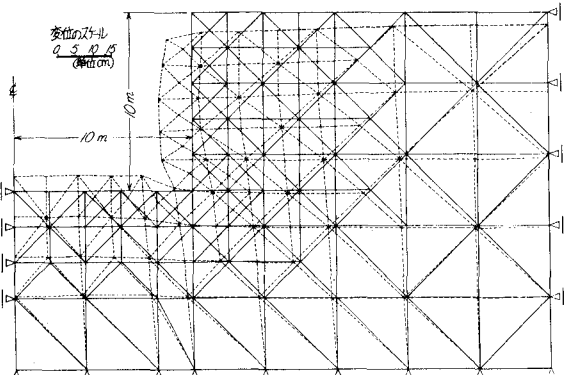


図-4 変位量

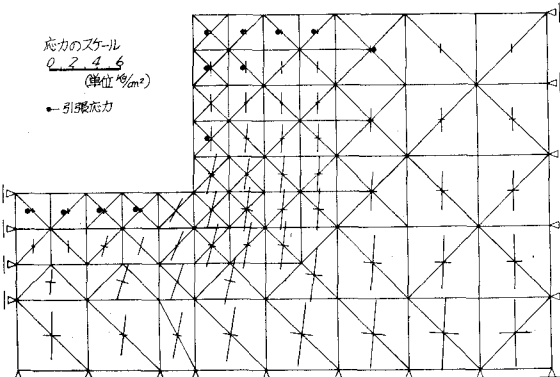


図-5 主応力の大きさとその方向

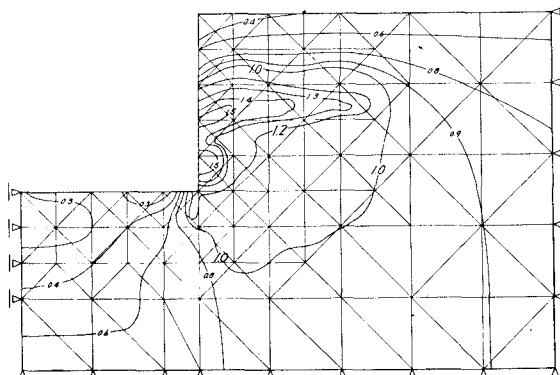


図-6  $T_{max}/\frac{1}{2}(の-03)$ の等価線